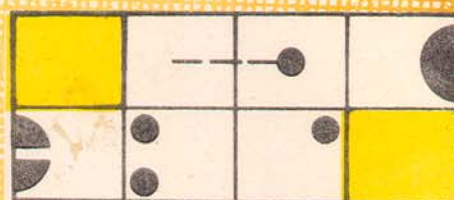
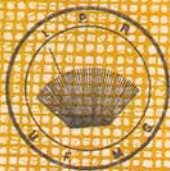


IPR  
326



APLICAÇÃO DA GENERALIZAÇÃO DO MÉTODO  
DA ONDA PLANA AUMENTADA AO ARGÔNIO

BENEDICTO JONAS DE OLIVEIRA FRANCO

INSTITUTO DE PESQUISAS RADIOATIVAS  
U. F. M. G. – C. N. E. N.  
Cidade Universitária – Pampulha  
BELO HORIZONTE – BRASIL

BENEDICTO JONAS DE OLIVEIRA FRANCO

APLICAÇÃO DA GENERALIZAÇÃO DO MÉTODO DA  
ONDA PLANA AUMENTADA AO ARGÔNIO.

BELO HORIZONTE

1973

UNIVERSIDADE FEDERAL DE MINAS GERAIS

Curso de Ciências e Técnicas Nucleares

APLICAÇÃO DA GENERALIZAÇÃO DO MÉTODO

DA ONDA PLANA AUMENTADA AO ARGÔNIO

Tese apresentada ao Curso de Ciências  
e Técnicas Nucleares para obtenção do  
grau de mestre em Ciências e Técnicas  
Nucleares

A minha esposa e filhos

## AGRADECIMENTOS

Agradecemos :

Ao professor Luiz Guimaraes Ferreira, pela sua orientação e ensinamentos.

Ao professor Manoel Lopes de Siqueira, por sua irrestrita contribuição em nossa formação científica.

Aos professores José Luiz Alves, Mário Oscar Mourão e Dálvio Elísio Laborne e Valle, pelas sugestões.

Ao professor Antônio Sérgio Teixeira Pires, pelos ensinamentos e amizade.

Aos professores Márcio Quintão Moreno e Emílio Vasconcelos Paes, respectivamente, chefe do Departamento de Física do ICEx e Coordenador do Curso de Ciências e Técnicas Nucleares, pelo apoio dado a este trabalho.

Ao Instituto de Pesquisas Radioativas, na pessoa de seu diretor, professor Milton Campos, por ter contribuído de diversos modos para a execução deste trabalho.

Ao Centro de Computação da UFMG, pelo processamento de dados.

Ao Conselho Nacional de Pesquisas e Comissão Nacional de Energia Nuclear, pelo parcial apoio financeiro dado a este trabalho.

A todas as pessoas que diretamente ou indiretamente contribuíram para a execução do presente trabalho.

## Í N D I C E

Resumo .....	1
Capítulo 1 - Introdução .....	2
Capítulo 2 - Simetrização de Ondas Planas ....	3
Capítulo 3 - O Método APW Generalizado .....	9
Capítulo 4 - Resultados e Conclusões .....	16
Apêndice A .....	27
Apêndice B .....	30

## RESUMO

No presente trabalho aplicamos a generalização do método da Onda Plana Aumentada, (método APW), ao Argônio. A equação secular foi resolvida com dimensões 6, 12 e 18 para a representação  $\Gamma_1$  e dimensões 18, 24 e 30 para a representação  $\Gamma_{15}$ .

Nossos resultados permitiram concluir que a determinação de  $\Gamma_1$  é razoavelmente precisa, o mesmo não acontecendo com  $\Gamma_{15}$ .

A presença de assíntotas prejudica a determinação do verdadeiro auto-valor.

A curva  $\lambda$  versus  $\epsilon$  é monotônica, como esperávamos.

## C A P Í T U L O    1

## INTRODUÇÃO

Na aplicação do método APW, (Augmented Plane Wave), encontramos dificuldades de convergência, sobretudo em relação à representação  $\Gamma_{15}$ . Decidimos então estudar o método APW generalizado, proposto recentemente por Ferreira et al<sup>(10)</sup>, e usar o Argônio como caso teste.

No Capítulo 2 tratamos da simetrização de ondas planas, o que permite reduzir a ordem da equação secular a resolver.

No Capítulo 3 apresentamos o método APW generalizado, segundo a versão de Ferreira et al<sup>(10)</sup>.

O Capítulo 4 refere-se aos resultados e conclusões.

O Apêndice A contém as tabelas relativas ao grupo  $0_h$ , que, em conexão com o operador de projeção, permitem calcular os quatro vetores do ponto  $\Gamma$ .

No Apêndice B apresentamos alguns desenvolvimentos referentes ao Capítulo 3.

## C A P Í T U L O 2

## Simetrização de Ondas Planas

## I. Grupo Espacial e Grupo de Pontos

No estudo de bandas de energia de um cristal, é de grande utilidade o conhecimento das operações de simetria, pois nos conduzem a muitas simplificações nos cálculos.

Os tipos fundamentais de operações de simetria de um cristal são as translações e rotações<sup>(4)</sup>. Tais operações combinadas constituem o grupo espacial do cristal. Se fazemos as translações nas, temos o grupo das rotações (sub-grupo do grupo espacial). Tal grupo é denominado grupo de ponto do cristal.

Os elementos do grupo espacial são denotados pelo símbolo  $(\alpha | \vec{t}_n)$ . Se  $\vec{u}$  é um vetor qualquer do espaço V, a operação  $(\alpha | \vec{t}_n)$  sobre  $\vec{u}$  é definida por<sup>(2)</sup>:

$$(\alpha | \vec{t}_n) \vec{u} = \alpha \vec{u} + \vec{t}_n \quad (2.1)$$

Temos que:

$$(\alpha | \vec{t}_n) (\beta | \vec{t}_m) = (\alpha \beta | \vec{t}_n + \vec{t}_m) \quad (2.2)$$

Uma operação do grupo de ponto é indicada por  $(\alpha | 0)$ , e uma translação pura é representada por  $(\epsilon | \vec{t}_n)$ , onde  $\epsilon$  indica o elemento identidade do grupo de ponto.

## II. Aplicação da Teoria de Grupos à solução da Equação de Schrödinger.

Para um grupo considerado, podemos associar a cada opera-

## C A P I T U L O 2

## Simetrização de Ondas Planas

## I. Grupo Espacial e Grupo de Pontos

No estudo de bandas de energia de um cristal, é de grande utilidade o conhecimento das operações de simetria, pois nos conduzem a muitas simplificações nos cálculos.

Os tipos fundamentais de operações de simetria de um cristal são as translações e rotações<sup>(4)</sup>. Tais operações combinadas constituem o grupo espacial do cristal. Se fazemos as translações nulas, temos o grupo das rotações (sub-grupo do grupo espacial). Tal grupo é denominado grupo de ponto do cristal.

Os elementos do grupo espacial são denotados pelo símbolo  $(\alpha | \vec{t}_n)$ . Se  $\vec{u}$  é um vetor qualquer do espaço V, a operação  $(\alpha | \vec{t}_n)$  sobre  $\vec{u}$  é definida por<sup>(2)</sup>:

$$(\alpha | \vec{t}_n) \vec{u} = \alpha \vec{u} + \vec{t}_n \quad (2.1)$$

Temos que:

$$(\alpha | \vec{t}_n) (\beta | \vec{t}_m) = (\alpha \beta | \vec{t}_n + \vec{t}_m) \quad (2.2)$$

Uma operação do grupo de ponto é indicada por  $(\alpha | 0)$ , e uma translação pura é representada por  $(\epsilon | \vec{t}_n)$ , onde  $\epsilon$  indica o elemento identidade do grupo de ponto.

## II. Aplicação da Teoria de Grupos à solução da Equação de Schrödinger.

Para um grupo considerado, podemos associar a cada opera-

dor uma matriz  $R$ , tal que  $R(x, y, z) = (x', y', z')$ .

Sendo  $r = \begin{pmatrix} x \\ y \\ z \end{pmatrix}$ , temos que  $r' = R r$ . Para uma função  $f(\vec{r})$ , temos:

$$P_R f(\vec{r}) = f(R^{-1} \vec{r}) \quad (2.3)$$

Se as matrizes  $R$  são ortogonais, temos que  $R^{-1} = \tilde{R}$ . Portanto, para girarmos uma função, ao invés de tomarmos a inversa de  $R$ , basta considerarmos sua transposta.

Vejamos agora como aplicamos a Teoria de Grupos à solução da equação de Schrödinger, explorando a simetria apresentada pela Hamiltoniana do problema.

Sendo  $H$  a Hamiltoniana e  $\{u_n\}$  uma base ortonormal, a equação de Schrödinger nos conduz a<sup>(7)</sup>:

$$\det \left\{ \langle u_i | H | u_j \rangle - E_i \delta_{ij} \right\} = 0 \quad (2.4)$$

Sabemos que:

- a) São nulos os elementos de matriz entre funções que se transformam segundo representações irreduíveis diferentes;
- b) numa mesma representação irreduível, (de dimensão superior a 1), são nulos os elementos de matriz correspondentes a diferentes elementos da base;
- c) numa mesma representação irreduível, (de dimensão superior a 1), são iguais os elementos de matriz correspondentes a um mesmo elemento da base.

Vemos desse modo que a equação secular será decomposta em equações seculares menores, e, portanto, a solução do problema tornar-

se-á bastante simplificada com o uso de tais resultados.

### III. Grupo do Vetor de Onda

A aplicação do operador  $P_R$ , referente a uma das operações do grupo de ponto, a uma função de onda na forma de Bloch, nos dá<sup>(1)</sup>:

$$P_R \Psi_{\vec{k}} = P_R u_{\vec{k}}(r) e^{i\vec{k} \cdot \vec{r}} = u_{\vec{k}}(R^{-1} \vec{r}) e^{i\vec{k} \cdot R^{-1} \vec{r}}.$$

Mas,

$$\vec{k} \cdot R^{-1} \vec{r} = R \vec{k} \cdot R^{-1} \vec{r} = R \vec{k} \cdot \vec{r}.$$

Logo:

$$P_R \Psi_{\vec{k}} = u_{\vec{k}}(R^{-1} \vec{r}) e^{iR \vec{k} \cdot \vec{r}} \quad (2.5)$$

A função  $u_{\vec{k}}(R^{-1} \vec{r})$  é periódica, se  $u_{\vec{k}}(\vec{r})$  o for. Podemos colocar  $u_{\vec{k}}(R^{-1} \vec{r}) = u'_{R \vec{k}}(\vec{r})$  e a equação anterior escrever-se-á:

$$P_R \Psi_{\vec{k}}(\vec{r}) = u'_{R \vec{k}}(\vec{r}) e^{iR \vec{k} \cdot \vec{r}} \quad (2.6)$$

Assim, a operação de  $P_R$  sobre  $\Psi_{\vec{k}}(\vec{r})$  produz uma auto-função também na forma de Bloch cujo vetor  $\vec{k}$  se tornou  $R \vec{k}$ .

Atuando com todas as operações de  $R$  de um grupo de ponto sobre um dado vetor de onda  $\vec{k}$ , obtemos como resultado uma "estrela" de  $\vec{k}$ .

As operações que aplicadas a um dado vetor  $\vec{k}$ , levam este vetor a um outro que difere dele por apenas um vetor da rede recíproca, constituem um sub-grupo do grupo de ponto que é denominado "grupo do vetor de onda".<sup>(7)</sup>

Em nosso trabalho estaremos interessados no grupo  $0\bar{h}$  que é o grupo do vetor  $\vec{k}_0 = (0, 0, 0)$  - centro da Zona de Brillouin na rede cúbica.

bica de face centrada (CFC).

#### IV. Ondas Planas Simetrizadas.

Na solução da equação de Schrödinger pelo método APW utilizamos, como veremos, ondas planas. Se considerarmos a simetria da rede cristalina, reduzimos a ordem da equação secular a resolver, sem alterar a precisão dos cálculos.

Se  $\Psi_{\vec{k}_n}^M$  é uma onda plana, temos: <sup>(7)</sup>

$$\rho_{ij}^M \Psi_{\vec{k}_n}^M = \frac{\ell}{h} \sum [M(\alpha)]_{ij}^* [\alpha] \Psi_{\vec{k}_n}^M, \quad (2.7)$$

onde  $\ell$  é a dimensão da representação M, h o número de elementos do grupo e

$$\rho_{ij}^M = \frac{\ell}{h} \sum [M(\alpha)]_{ij}^* [\alpha]$$

é o operador de projeção, que, aplicado a uma função, transforma sua componente do eixo j no subespaço M, na componente segundo o eixo i de M.

Pela equação 2.6, temos:

$$\Psi_{\vec{k}_n}^M = \rho_{ij}^M \Psi_{\vec{k}_n}^M = \frac{\ell}{h} \sum [M(\alpha)]_{ij}^* \Psi_{\alpha \vec{k}_n}$$

A função  $\Psi_{\vec{k}_n}^M$ , (onda plana simetrizada), transforma-se como função base para a representação M.

#### V. Quadrvetores do ponto $\Gamma$ .

A estrutura cristalina do Argônio, bem como dos demais só-

lidos de gases nobres, é cúbica, de face centrada<sup>(9)</sup>. A rede reciproca é cúbica, de corpo centrado. A primeira tem vetores primitivos dados por:

$$\vec{t}_1 = [0, a/2, a/2], \quad \vec{t}_2 = [a/2, 0, a/2]$$

$$\vec{t}_3 = [a/2, a/2, 0] \quad (2.9)$$

sendo a a aresta do cubo. O volume será:

$$\vec{t}_1 \cdot (\vec{t}_2 \times \vec{t}_3) = a^3/4 \quad (2.10)$$

A segunda tem vetores primitivos dados por:

$$\vec{b}_1 = 2\pi/a [-1, 1, 1]$$

$$\vec{b}_2 = 2\pi/a [1, -1, 1] \quad (2.11)$$

$$\vec{b}_3 = 2\pi/a [1, 1, -1]$$

O ponto  $\Gamma$  é localizado por  $2\pi/a [0, 0, 0]$ . O grupo de ponto correspondente é o  $0_h$ . O quadrivetores que utilizamos, calculados com o uso do operador de projeção e das tabelas do Apêndice A, são os seguintes:

F  
1

---

0001	4001	4401	2261	3711
1111	3311	1351	4441	8001
2001	2401	4421	5611	3731
2201	2241	6001	7111	2801
1131	1151	2601	4601	4641
2221	3331	3351	4621	6601

---

F  
15

---

1111	4001	2243	1353	3351
2001	3311	3331	6001	3353
2201	3313	1151	4421	2261
1131	2401	1153	4423	2263
1133	2402	1351	2601	4441
2221	2241	1352	2602	5511

---

## CAPÍTULO 3

### O MÉTODO APW GENERALIZADO

#### I. Introdução.

Proposto por Slater em 1937, o método APW consiste em cercar os átomos por esferas translacionalmente equivalentes, nas quais o potencial é esfericamente simétrico, e, na região exterior de tais esferas, o potencial é considerado constante e igual à média do potencial cristalino nesta região. Dentro das esferas, a função de onda é representada por uma combinação de soluções atômicas. Fora, utilizamos a decomposição em ondas planas, isto é,

$$\text{no interior} \rightarrow \Psi_i = \sum c_{\ell m} Y_{\ell m}(\vec{r}) \frac{u_{\ell \epsilon_0}(r)}{u_{\ell \epsilon_0}(R)} \quad (3.1)$$

$$\text{no exterior} \rightarrow \Psi_o = \sum c_k e^{i\vec{k} \cdot \vec{r}} \quad (3.2)$$

A função da onda total é suposta contínua na superfície das esferas e de tal condição encontra-se:

$$c_{\ell m} = 4\pi i \sum_k c_k e^{i\vec{k} \cdot \vec{r}_0} j_{\ell}(kR) Y_{\ell m}(\vec{k})^* \quad (3.3)$$

Nas equações anteriores, temos:

$u_{\ell \epsilon_0}(r)$  = solução da equação radial de Schrödinger com energia  $\epsilon_0$  e momento angular  $\ell$

$R$  = raio da esfera

$\vec{r}_0$  = vetor que localiza o centro de uma esfera

$j_\rho$  = funções de Bessel esféricas

Leigh<sup>(11)</sup> e Schrödinger-Marcus,<sup>(12)</sup> utilizando-se da possibilidade de variar  $c_k$  e  $c_{\ell m}$  independentemente, fizeram uso, para obtenção da equação secular, da seguinte expressão variacional:

$$\begin{aligned} \epsilon \int_{\Omega} \Psi^* \nabla \Psi d\Omega - & \int_{\Omega_0} (\nabla \Psi_0^* \cdot \nabla \Psi_0 + \Psi_0^* \nabla \Psi_0) d\Omega + \\ & + \int_{S_i} \Psi_i^* H \Psi_i d\Omega + \int_{\Omega_0} \Psi_0^* \partial_n \Psi_i dS + \int (\Psi_0 - \Psi_i) \partial_n \Psi_i^* dS - \\ & - \mu \left[ (\Psi_0^* - \Psi_i^*) (\Psi_0 - \Psi_i) dS - V \right] [(\Psi_0^* - \Psi_i^*) (\partial_n \Psi_0 - \partial_n \Psi_i) + \right. \\ & \left. + (\Psi_0 - \Psi_i) (\partial_n \Psi_0^* - \partial_n \Psi_i^*)] dS - \lambda R^2 \right] [(\partial_n \Psi_0^* - \partial_n \Psi_i^*) \times \\ & \times (\partial_n \Psi_0 - \partial_n \Psi_i)] dS, \end{aligned} \quad (3.4)$$

onde se tem:

$\Omega_0$  = volume da esfera

$\Omega$  = volume compreendido entre a esfera e o contorno da célula

$V$  = potencial

$H = \text{hamiltoniana}$

$\lambda, \mu, \nu = \text{parâmetros arbitrários}$

$\epsilon = \text{auto-valor da energia.}$

## II. O método APW.

Considerando  $\lambda = \mu = \nu = 0$  na equação (3.4), e fazendo variações em  $c_k$  e  $c_{\ell m}$  (10), obtemos a equação (veja apêndice B):

$$\begin{aligned} D(\epsilon_0, \epsilon) &= \det(D_{kk'}) = \det \left\{ \sum (\vec{k}, \vec{k}') \Omega_{k-k'} - \epsilon \Omega_{k-k'} + V_{k-k'} \right\} + \\ &+ 4\pi e^{i(\vec{k}-\vec{k'}) \cdot \vec{r}_0} \sum (2\ell+1) P_\ell(k, k') j_\ell(kR) j_\ell(k'R) \times \\ &\times \frac{L_\ell(\epsilon_0)^2}{L_\ell(\epsilon_0) - (\epsilon - \epsilon_0) I_\ell(\epsilon_0)} \} = 0 \quad (3.5) \end{aligned}$$

onde:

$$\Omega_k = \frac{1}{\Omega} \int_{\Omega_0} e^{ik \cdot \vec{r}} d\Omega \quad (3.6)$$

$$V_k = \frac{1}{\Omega} \int_{\Omega_0} V(\vec{r}) e^{ik \cdot \vec{r}} d\Omega \quad (3.7)$$

$$L_\ell(\epsilon_0) = R^2 \frac{u'_\ell \epsilon_0(R)}{u_\ell \epsilon_0(R)} \quad (3.8)$$

$$I_\ell(\epsilon_0) = \frac{\int_0^R r^2 u_\ell \epsilon_0(r)^2 dr}{u_\ell \epsilon_0(R)^2} = - \frac{d L_\ell(\epsilon_0)}{d \epsilon_0} \quad (3.9)$$

$\epsilon_0$  é considerado como um parâmetro variacional, e  $\epsilon$  é de

terminado da condição:

$$\frac{\frac{d \epsilon}{d \epsilon_0}}{d \epsilon_0} = 0 \quad (3.10)$$

De (3.5) e (3.10), encontramos:

$$\frac{\partial D(\epsilon_0, \epsilon)}{\partial \epsilon_0} = 0 \quad (3.11)$$

A equação (3.5) difere da expressão obtida no APW convencional apenas pelo fator radial

$$\frac{L_\rho(\epsilon_0)^2}{L_\rho(\epsilon_0) - (\epsilon_0 - \epsilon) I_\rho(\epsilon_0)}$$

Como mostramos no apêndice B, esta expressão difere de  $L_\rho(\epsilon_0)$  por termos de segunda ordem em  $(\epsilon_0 - \epsilon)$ . Dessa maneira, obtemos:

$$D(\epsilon_0, \epsilon) = D(\epsilon, \epsilon) + O((\epsilon_0 - \epsilon)^2) \quad (3.12)$$

De (3.5) e (3.11), encontramos:

$$\epsilon_0 - \epsilon = D(\epsilon, \epsilon) = 0 \quad (3.13)$$

### III. O método APW generalizado.

Dentre os possíveis valores para  $\lambda, \mu$  e  $\nu$ , podemos considerar aqueles que conduzem a uma solução variacional com

$$\epsilon = \epsilon_0 \quad (3.14)$$

Como veremos a seguir, escolhendo  $\mu = \nu = 0$  e tomando  $\lambda$  com arbitrário, seremos conduzidos a (3.13), e, além disso, a uma função

de onda  $\psi$ , que, na superfície da esfera, tem a combinação

$$\psi + \lambda R^2 \partial_n \psi,$$

que é contínua.

Se  $\lambda = 0$ , a expansão de  $\psi$  será contínua na superfície da esfera (método APW usual), e se  $\lambda = \infty$ , teremos uma função com derivada normal contínua.

Tomando  $\lambda$  como um parâmetro arbitrário, e seguindo o mesmo procedimento adotado na obtenção de (3.5), encontramos:

$$D(\epsilon_0, \epsilon) = \det(D_{kk'}) = \det \left\{ \sum_{k=k'}^{\infty} (\vec{k} \cdot \vec{k'}) D_{kk'} - \epsilon D_{kk'} + V_{kk'} \right\} + \\ + 4\pi e^{i(\vec{k} \cdot \vec{k'}) \cdot \vec{r}_0} \sum_{\ell=0}^{\infty} (2\ell+1) P_\ell(\vec{k} \cdot \vec{k'}) j_\ell(kR) j_\ell(k'R) \times \\ \times \frac{-\lambda [(\epsilon_0 - \epsilon) I_\ell(\epsilon_0) - L_\ell(\epsilon_0)] D_\ell(k) D_\ell(k') - L_\ell(\epsilon_0)^2 - L_\ell(\epsilon_0)^2 (D_\ell(k) + D_\ell(k')) \lambda}{(\epsilon_0 - \epsilon) I_\ell(\epsilon_0) - L_\ell(\epsilon_0) - \lambda L_\ell(\epsilon_0)^2} \} \quad (3.15)$$

$$\text{onde } D_\ell(k) = kR^2 \times \frac{j_\ell(kR)}{j_\ell(kR)} \quad (3.16)$$

Os elementos de matriz de  $D_{kk'}$  diferem novamente do APW usual, através de fatores radiais.

O fator radial que aparece em (3.14), pode ser colocado na forma (10):

$$\frac{L_\ell(\epsilon) + \lambda [L_\ell(\epsilon)(D_\ell(k) + D_\ell(k')) - D_\ell(k)D_\ell(k')]}{1 + \lambda L_\ell(\epsilon)} + O((\epsilon - \epsilon_0)^2),$$

e vemos que, novamente, a relação (3.12) é verificada, e a solução é tal

que

$$\epsilon_0 = \epsilon.$$

#### IV. Escolha de $\lambda$

Se pudéssemos lidar com uma equação secular infinita, o valor de  $\lambda$  não interessaria, isto é, teríamos a relação

$$\frac{d\epsilon}{d\lambda} = 0$$

Para matriz secular finita, temos:

$$\frac{d\epsilon}{d\lambda} \leq 0$$

A variação de  $\lambda$  permite o estudo da convergência da solução.

Se  $\epsilon$  varia de tal modo que tenhamos o comportamento da figura 1,  $\epsilon$  está sendo calculado adequadamente. Se temos o comportamento da figura 2, significa que para um certo momento angular  $\ell$ , temos:

$$1 + L_p(\epsilon) = 0 \quad (3.17)$$

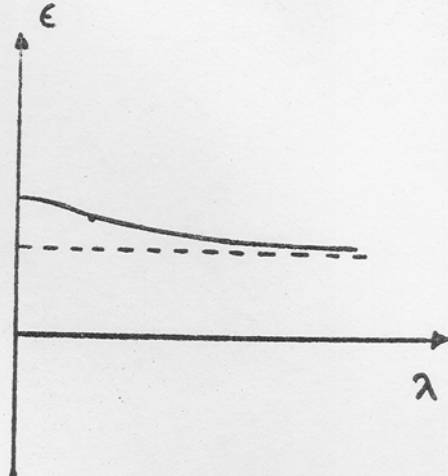


figura 1

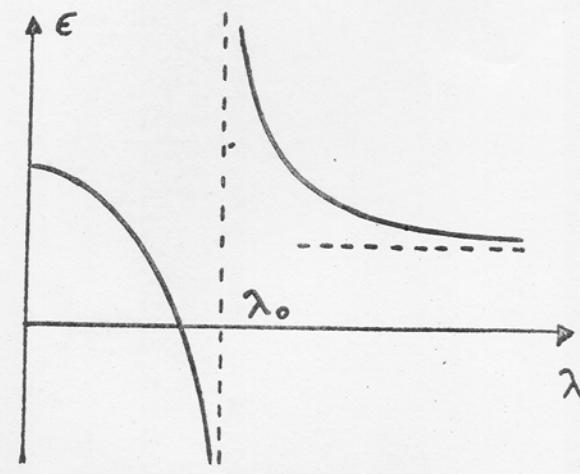


figura 2

Tal caso acontece quando a solução  $\epsilon$  está próxima a uma assintota  $\epsilon_A$ , do método APW, sendo  $\epsilon_A$  tal que

$$\frac{1}{L_p(\epsilon_A)} = 0 \quad (3.18)$$

Próximo a tal energia, a derivada logarítmica  $L_p(\epsilon)$  varia rapidamente, e é possível encontrar uma energia  $\epsilon$  e um valor  $\lambda_0$  satisfazendo (3.13) e (3.17), simultaneamente.

Na situação da figura 1,  $\epsilon$  pode ser determinado com a precisão que desejarmos, bastando para isso aumentarmos convenientemente a dimensão da matriz secular. O valor de  $\lambda$  a ser usado é aquele que conduza a uma rápida convergência. Mostra-se que tal valor é dado por

$$\lambda = \frac{1}{R} \cdot \frac{\Omega_0}{\Omega_i} \quad (10)$$

sendo  $R$  o raio da esfera,  $\Omega_i$  o volume dentro das esferas e  $\Omega_0$  o volume fora das esferas.

## C A P Í T U L O 4

## R E S U L T A D O S E C O N C L U S Õ E S

## I. Resultados

Utilizando APW generalizado resolvemos a equação de Schrödinger para o Argônio. Os cálculos foram feitos para as representações  $\Gamma_1$  e  $\Gamma_{15}$ , com valores de  $\lambda$ , tais que  $\lambda \leq 0$ . Utilizamos um computador IBM 360/40, gastando um total de 8 horas de computação.

O potencial fora das esferas foi tomado como constante. Esta constante é a média do potencial fora das esferas e vale -0,32947Ry. O raio das esferas foi tomado igual 3,53 u.a. A variação do momento angular foi considerada de 0 a 12 e o exchange utilizado foi o de Slater<sup>(13)</sup>. No cálculo da média esférica do potencial foram utilizadas dez (10) camadas de átomos vizinhos.

A equação secular foi resolvida com as dimensões 6, 12 e 18 para a representação  $\Gamma_1$  e dimensões 18, 24 e 30 para  $\Gamma_{15}$ . Os valores de  $\lambda$  utilizados são os constantes das tabelas 4.1 e 4.2. Nas figuras 4, 5, 6, 7, 8 e 9 apresentamos os gráficos relativos aos valores registrados nas referidas tabelas. As energias são dadas em Ry e  $\lambda$  em unidades de  $\frac{1}{R} \frac{\Omega_0}{\Omega_i}$ .

## II. Conclusões

Notamos que, variando  $\lambda$ , conseguimos fazer desaparecer os zeros espúrios, (zeros próximos ao zero verdadeiro que determina o auto-valor referente ao GAP).

A curva de  $\epsilon \times \lambda$  é monotônica, como esperávamos.

A presença de assíntotas prejudica a determinação do auto-valor verdadeiro. Em particular, estas assíntotas parecem proibir que  $\epsilon$  versus número de APW apresente o comportamento ideal da figura 3 ao lado. Provavelmente, a figura ideal só será obtida para um número muito grande de quadrigivetores.

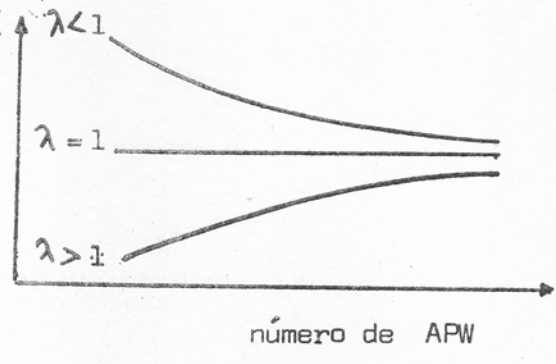


Fig.3

As assíntotas das figuras 4 a 9 aparecem na região próxima às assintotas de  $L_p(\epsilon)$ .

A determinação de  $\Gamma_1$  é razoavelmente precisa, pois  $\frac{\partial \epsilon}{\partial \lambda} \approx 0$ , se  $\lambda$  é pequeno.  $\Gamma_1$  é um estado de condução caracterizado pelo fato de as funções de onda estarem espalhadas em toda a célula - primitiva.

Por outro lado, o auto-valor correspondente ao estado de valência  $\Gamma_{15}$  não pode ser determinado com precisão, mesmo com equações seculares  $30 \times 30$ . Para este estado,  $\frac{\partial \epsilon}{\partial \lambda}$  não é desprezível, e a energia é lentamente convergente com a dimensão da equação secular.

## T A B E L A 4.1

Auto-valores da energia como função  
de  $\lambda$  para a representação  $\Gamma_1$ .

$\lambda$	6	12	18
0.0000	-0.2138	-0.2202	-0.2138
0.0100	-0.2140	-0.2210	
0.0200	-0.2141	-0.2219	-0.2140
0.0500	-0.2145	-0.2259	-0.2145
0.1000	-0.2150	-0.2478	-0.2155
0.1600		-0.1606	
0.2000	-0.2136	-0.1938	-0.2194
0.2500	-0.2170		-0.2247
0.3000	-0.2177		-0.2459
0.3500	-0.2183		-0.1494
0.4000	-0.2189	-0.2103	-0.1938
0.8000	-0.2265	-0.2262	-0.2094
0.9000		-0.2392	
1.0000	-0.2315	-0.1369	-0.2103
1.6000	-0.2573	-0.1968	-0.2117
3.2000	-0.3776	-0.2041	-0.2133
3.5000	-0.1775		
4.0000	-0.1822		
5.0000	-0.1873		
5.6000	-0.1891		
6.4000	-0.4945	-0.2068	-0.2148
7.0000	-0.1917		
8.0000	-0.1929		
10.0000	-0.1944		

## T A B E L A 4.2

Auto-valores da energia como função  
de  $\lambda$  para a representação  $P_{15}$

$\lambda$	18	24	30
0.0000	-1.0412	-1.0506	-1.1287
0.0100	-1.0528		-1.1309
0.0125		-1.0532	
0.0200	-1.0542		-1.1331
0.0500	-1.0576	-1.0602	-1.1397
0.1000	-1.0620		-1.1528
0.1600	-1.0664		-1.1862
0.2000	-1.0684	-1.0709	-1.2400
0.2500	-1.0706		
0.3000	-1.0733		-1.0998
0.4000	-1.0768	-1.0905	-1.1496
0.5000		-1.1135	
0.6000	-1.0839	-1.1759	
0.7000		-1.0073	
0.8000	-1.0967	-1.0505	-1.1843
1.0000	-1.0403	-1.0673	-1.2008
1.2000	-1.0748		
1.4000	-1.0802		
1.6000		-1.1491	-1.2529
2.5000		-1.1866	
3.2000	-1.0901		-1.2972
6.4000	-1.0932		-1.3972

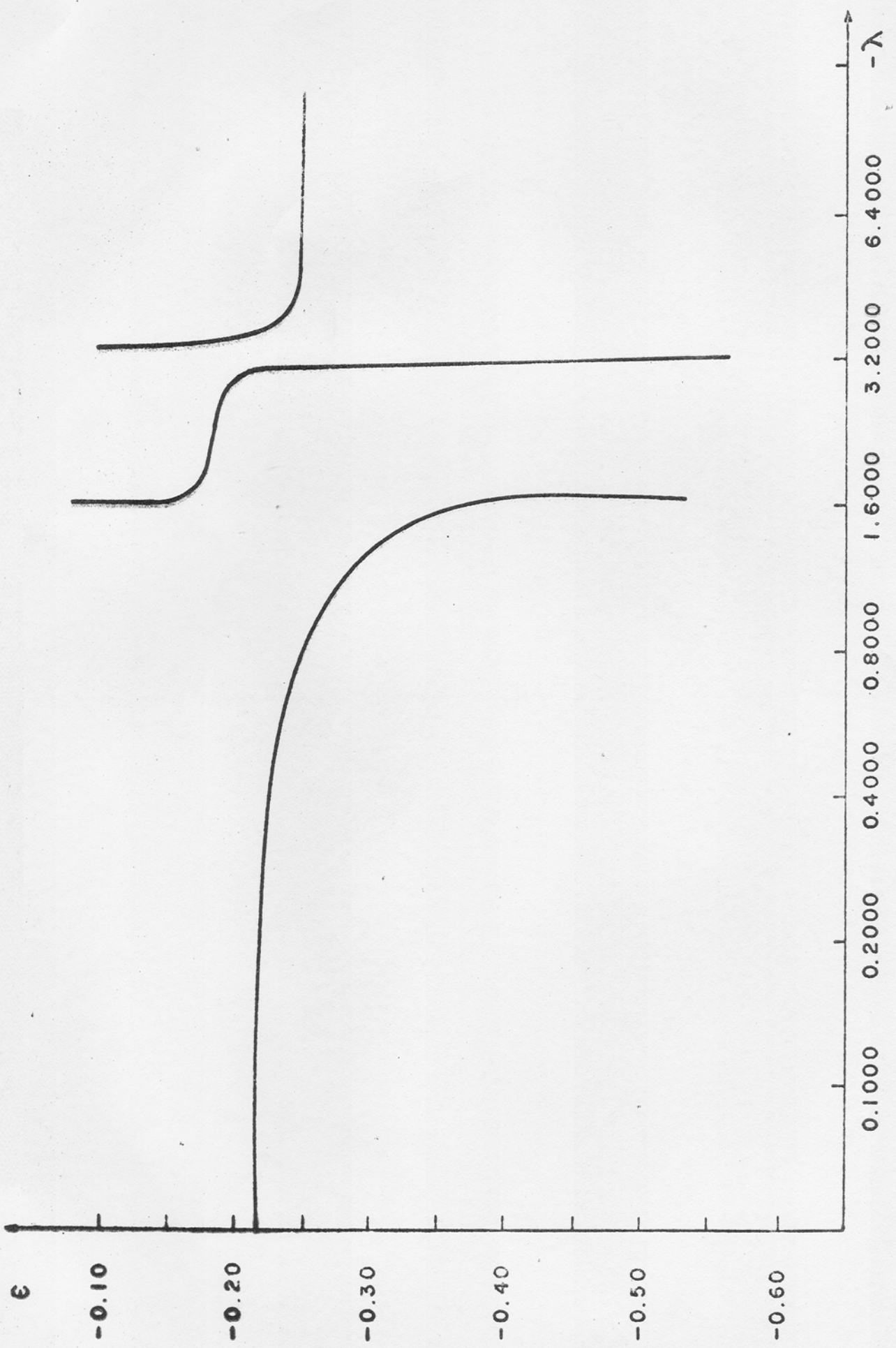


Fig. 4 -  $\lambda$  x auto-valores da energia para a representação  $\Gamma_1$  e matriz secular de dimensão igual a 6.

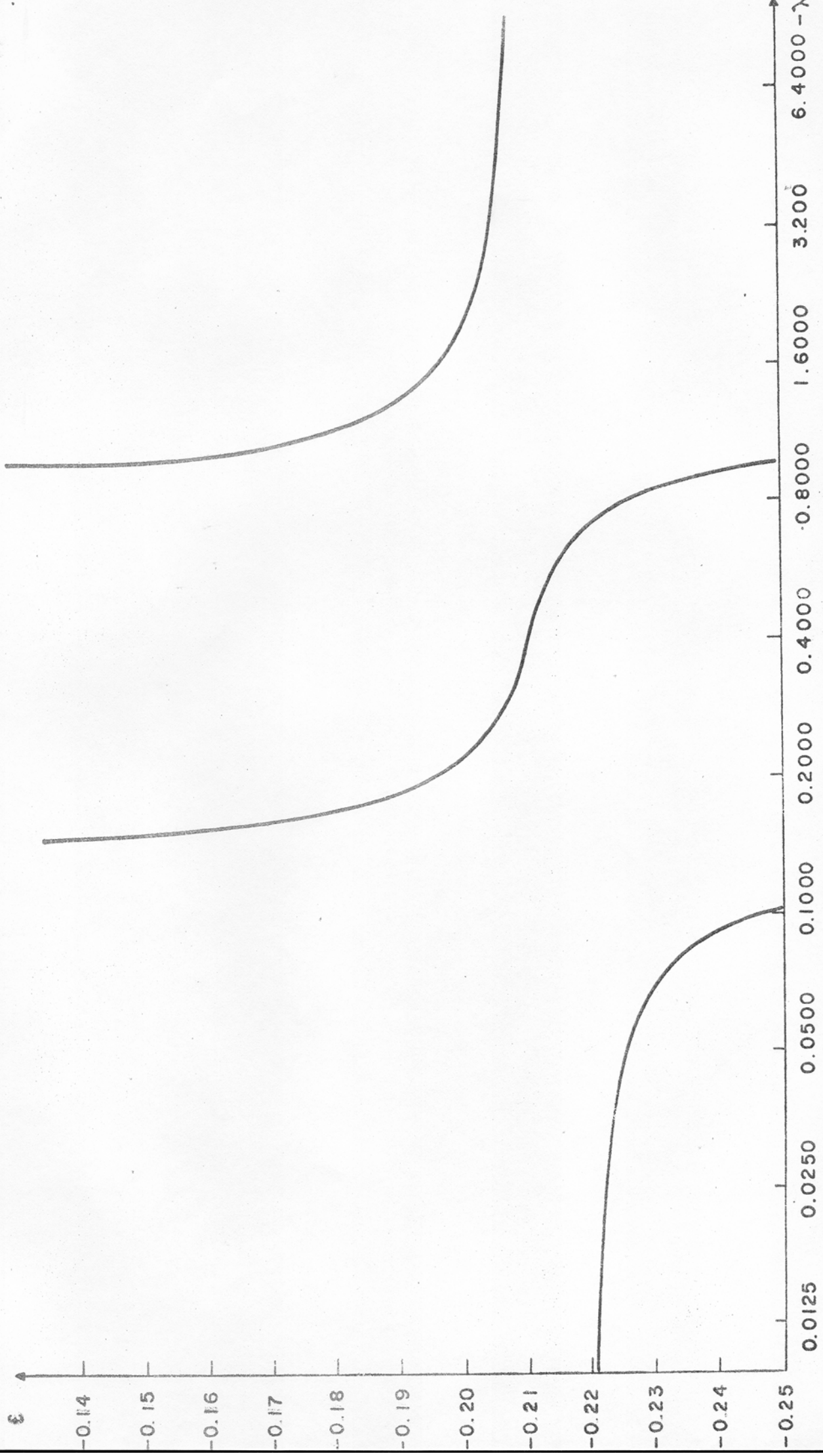


Fig. 5 -  $\lambda \times$  auto-valores da energia para a representação  $\Gamma_1$  e matriz secular de dimensão igual a 12.

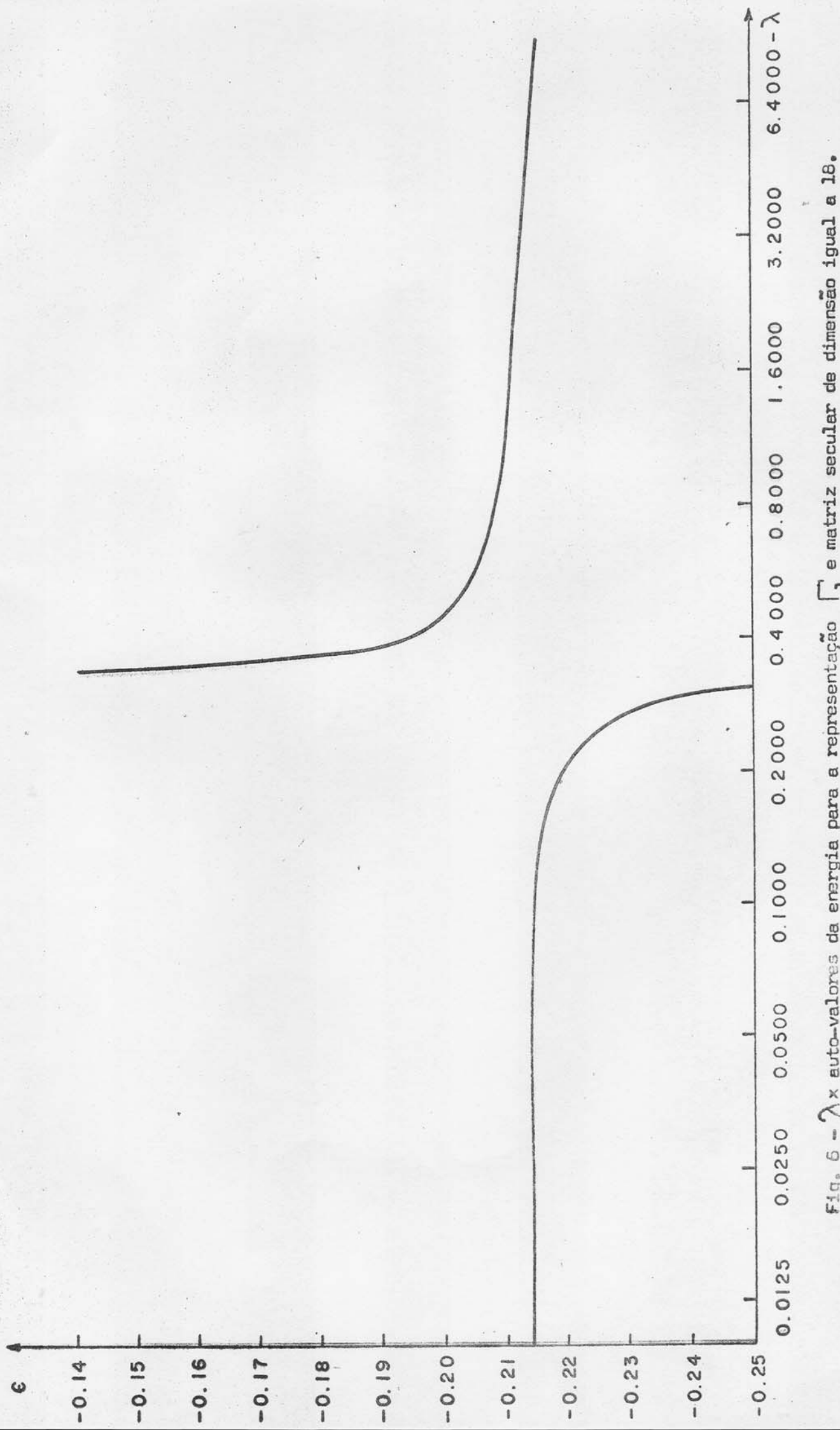


Fig. 6 -  $\lambda \times$  auto-valores da energia para a representação  $\Gamma_1$  e matriz secular de dimensão igual a 18.

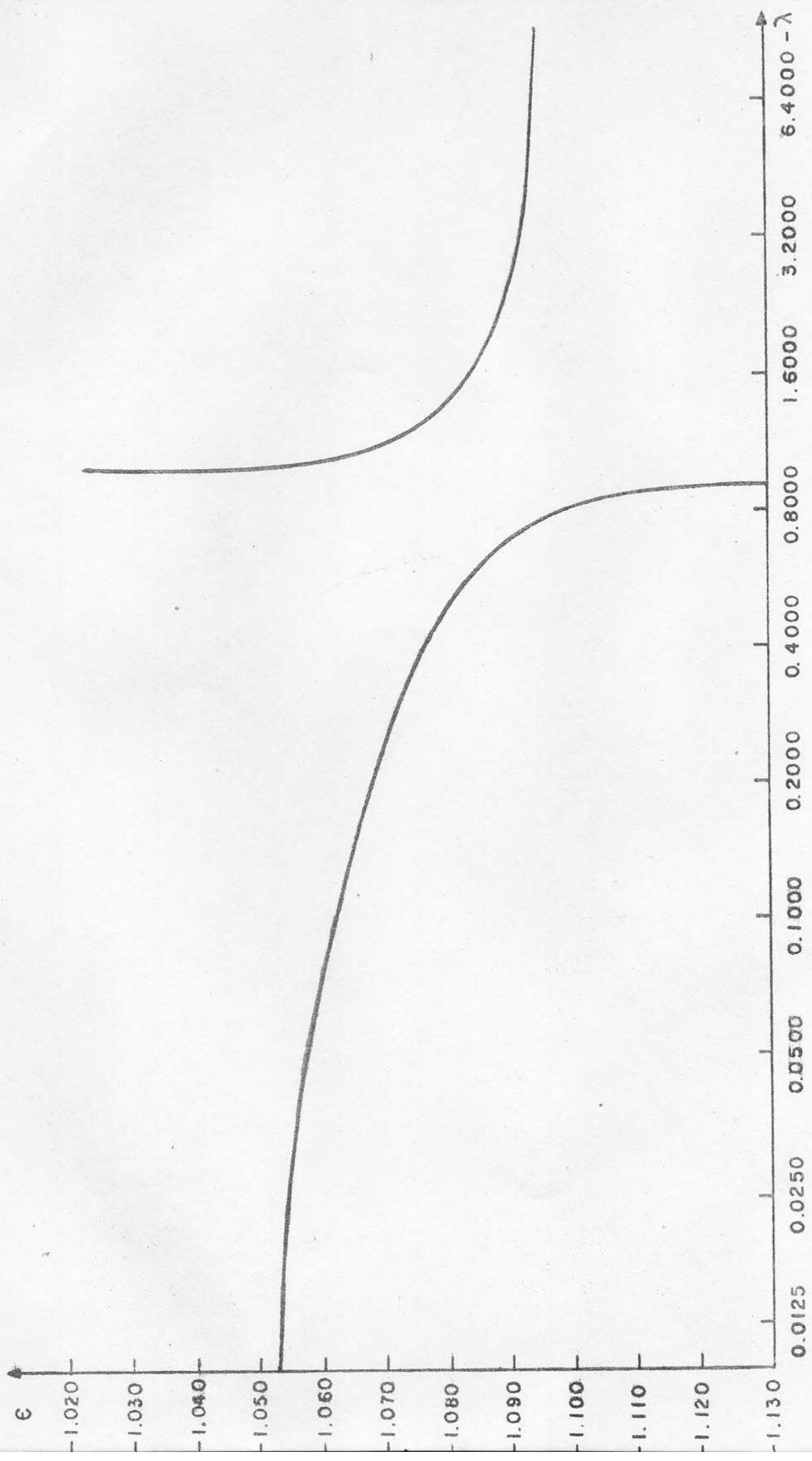


Fig. 7 -  $\lambda$  x auto-valores de energia para a representação  $\begin{bmatrix} 15 & 15 \end{bmatrix}$  e matriz secular de dimensão igual a 18.

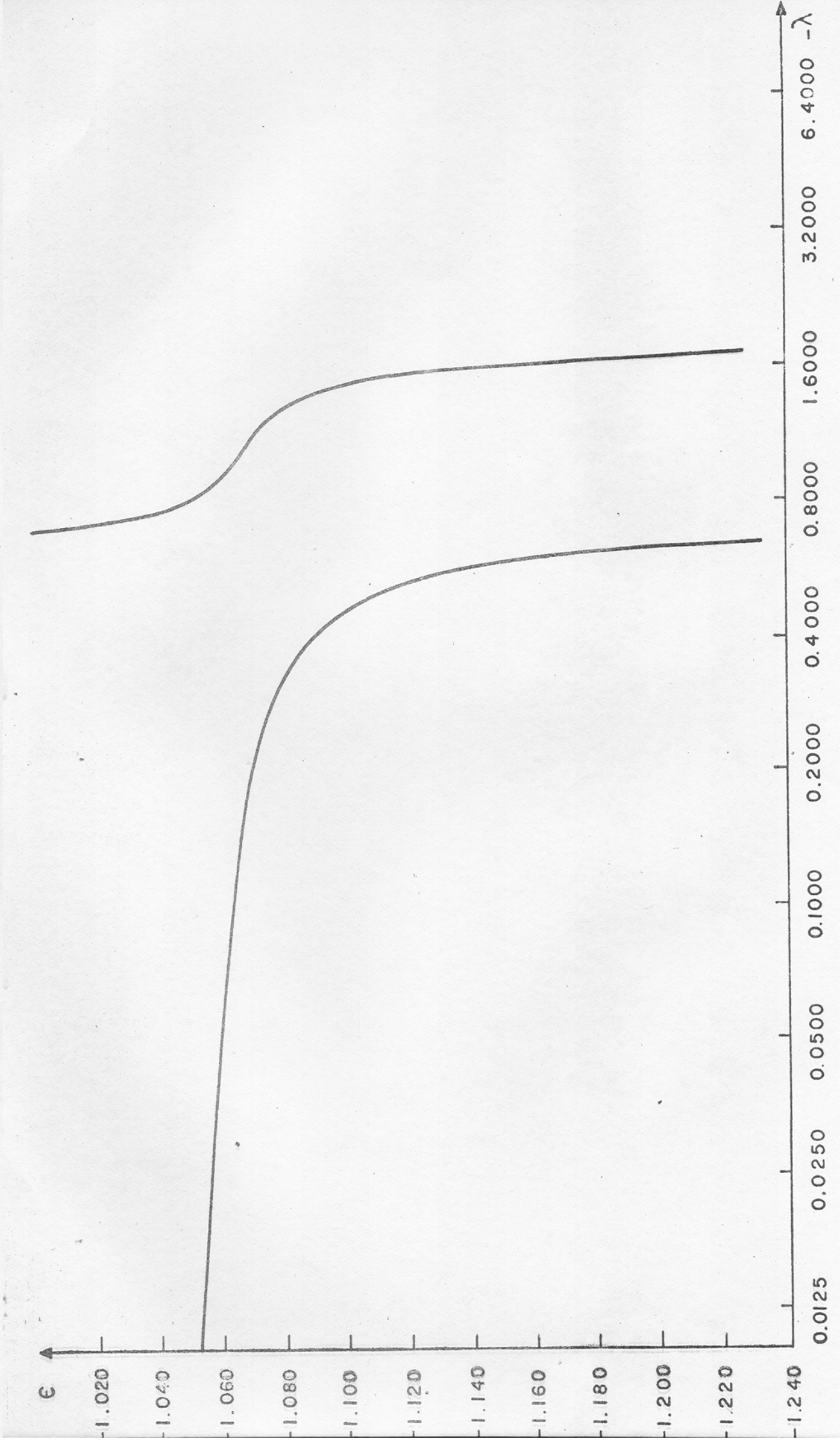


Fig. 8 -  $\lambda \times$  auto-valores da energia para a representação  $\tilde{M}_{15}$  e matriz secular de dimensão igual a 24.

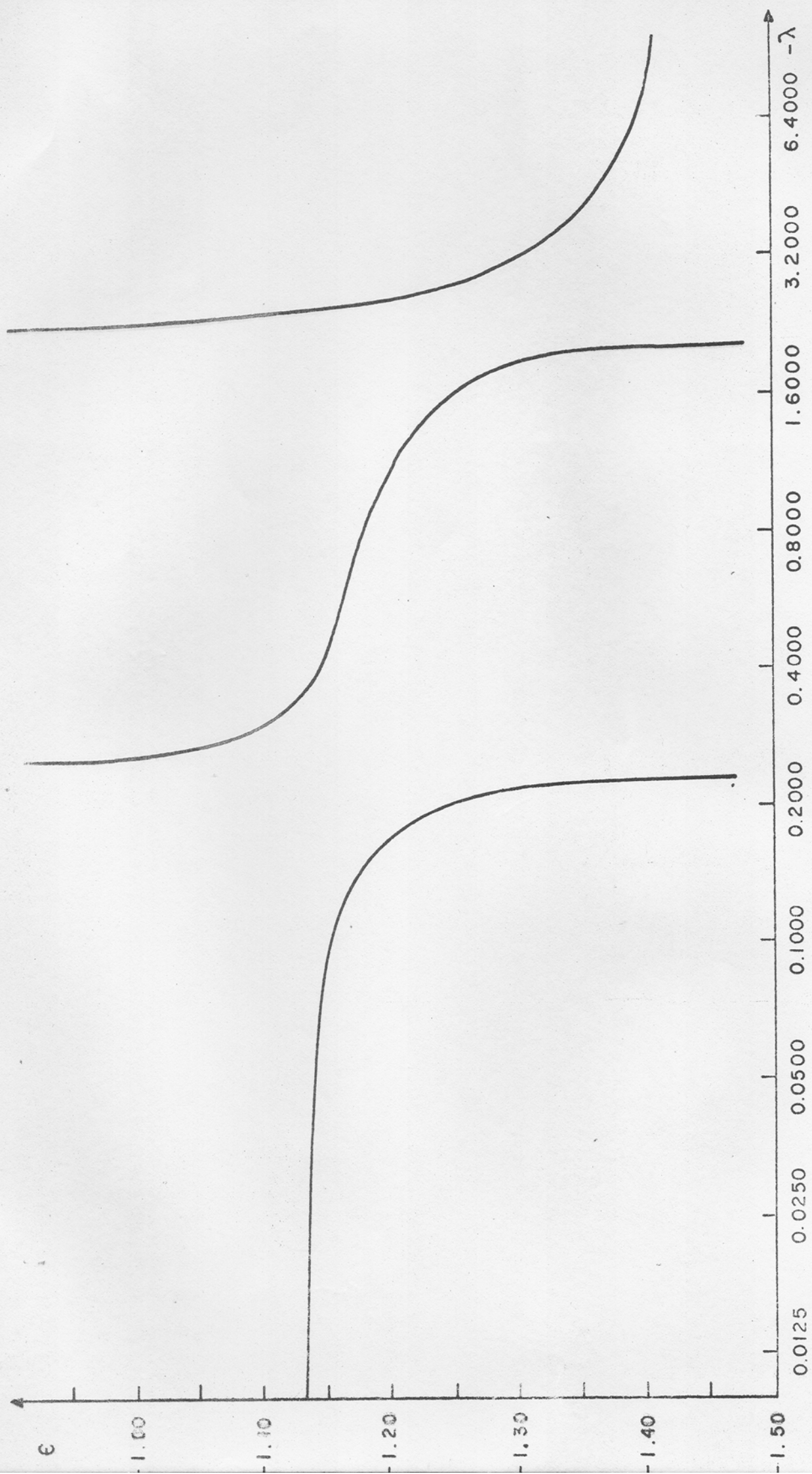


Fig. 9 -  $\lambda \times$  auto-valores da energia para a representação  $\tilde{J}_{15}$  e matriz secular de dimensão igual a 30.

A PÊNDICES

## APÊNDICE A

Neste apêndice apresentamos as tabelas referentes ao grupo  $O_h$ , que, juntamente com o uso do operador de projeção, permitem calcular os quadrivertores do ponto  $\Gamma$ .

TABELA A-I

Operações do grupo  $O_h$  atuando sobre

as coordenadas

$R_1$	$xyz$	$R'_1$	$\overline{xyz}$	$R_{13}$	$\overline{\overline{x}}zy$	$R'_{13}$	$x\overline{zy}$
$R_2$	$\overline{xyz}$	$R'_2$	$\overline{\overline{x}}yz$	$R_{14}$	$\overline{x}\overline{zy}$	$R'_{14}$	$x\overline{zy}$
$R_3$	$\overline{\overline{xy}}z$	$R'_3$	$\overline{xy}\overline{z}$	$R_{15}$	$z\overline{yx}$	$R'_{15}$	$\overline{zy}x$
$R_4$	$\overline{xy}\overline{z}$	$R'_4$	$xy\overline{z}$	$R_{16}$	$\overline{zy}x$	$R'_{16}$	$zy\overline{x}$
$R_5$	$zxy$	$R'_5$	$\overline{zxy}$	$R_{17}$	$\overline{y}\overline{x}z$	$R'_{17}$	$y\overline{x}z$
$R_6$	$\overline{zxy}$	$R'_6$	$z\overline{xy}$	$R_{18}$	$y\overline{zx}$	$R'_{18}$	$\overline{y}xz$
$R_7$	$\overline{\overline{z}}xy$	$R'_7$	$\overline{z}xy$	$R_{19}$	$x\overline{zy}$	$R'_{19}$	$\overline{x}zy$
$R_8$	$\overline{z}\overline{xy}$	$R'_8$	$\overline{z}\overline{xy}$	$R_{20}$	$\overline{x}\overline{zy}$	$R'_{20}$	$\overline{x}zy$
$R_9$	$y\overline{zx}$	$R'_9$	$\overline{y}\overline{zx}$	$R_{21}$	$zyx$	$R'_{21}$	$\overline{zy}x$
$R_{10}$	$\overline{y}\overline{zx}$	$R'_{10}$	$y\overline{zx}$	$R_{22}$	$\overline{zy}\overline{x}$	$R'_{22}$	$zy\overline{x}$
$R_{11}$	$\overline{y}\overline{zx}$	$R'_{11}$	$y\overline{zx}$	$R_{23}$	$y\overline{x}z$	$R'_{23}$	$\overline{y}xz$
$R_{12}$	$y\overline{zx}$	$R'_{12}$	$\overline{y}\overline{zx}$	$R_{24}$	$\overline{y}\overline{x}z$	$R'_{24}$	$y\overline{x}z$

T A B E L A      A-II

Caracteres do grupo  $O_h$

$\Gamma_h$	E	$3C_4^2$	$8C_3$	$6JC_4$	$6JC_2$	J	$3JC_4^2$	$8JC_3$	$6C_4$	$6C_2$
$\Gamma_1$	1	1	1	1	1	1	1	1	1	1
$\Gamma_2$	1	1	1	-1	-1	1	1	1	-1	-1
$\Gamma_{12}$	2	2	-1	0	0	2	2	-1	0	0
$\Gamma'_{15}$	3	-1	0	1	-1	3	-1	0	1	-1
$\Gamma'_{25}$	3	-1	0	-1	1	3	-1	0	-1	1
$\Gamma'_1$	1	1	1	-1	-1	-1	-1	-1	1	1
$\Gamma'_2$	1	1	1	1	1	-1	-1	-1	-1	-1
$\Gamma'_{12}$	2	2	-1	0	0	-2	-2	1	0	0
$\Gamma_{15}$	3	-1	0	-1	1	-3	1	0	1	-1
$\Gamma_{25}$	3	-1	0	1	-1	-3	1	0	-1	1

TABELA A-III

## Caracteres para as estrelas de vetores

do grupo O<sub>h</sub>

T A B E L A      A-IV

Decomposição das representações do grupo do vetor de onda nas representações irredutíveis do grupo  $O_h$ .

	$\Gamma_1$	$\Gamma_2$	$\Gamma_{12}$	$\Gamma_{15}'$	$\Gamma_{25}'$	$\Gamma_1'$	$\Gamma_2'$	$\Gamma_{12}'$	$\Gamma_{15}$	$\Gamma_{25}$
(000)	1	0	0	0	0	0	0	0	0	0
(A00)	1	0	1	0	0	0	0	0	0	1
(AA0)	1	0	1	0	1	0	0	0	1	0
(AAA)	1	0	0	0	1	0	1	0	1	0
(AB0)	1	1	2	1	1	0	0	0	2	2
(AAB)	1	0	1	1	2	0	1	1	2	1
(ABC)	1	1	2	3	3	1	1	2	3	3

TABELA A-V

Quadrivertores para as diversas representações

## APÊNDICE B

Apresentamos neste apêndice alguns desenvolvimentos referentes ao Capítulo 2.

$$1 \cdot \frac{L_p(\epsilon_0)^2}{L_p(\epsilon_0) - (\epsilon_0 - \epsilon) I_p(\epsilon_0)} = ? \quad (B-I)$$

A expressão anterior pode ser posta na forma:

$$\frac{L_p(\epsilon_0)}{1 - (\epsilon_0 - \epsilon) I_p(\epsilon_0) / L_p(\epsilon_0)} = L_p(\epsilon_0) \times$$

$$\times \left[ \frac{1}{1 - (\epsilon_0 - \epsilon) I_p(\epsilon_0) / L_p(\epsilon_0)} \right] \quad (B-II)$$

A expressão entre colchetes tem a forma

$$(1 + u)^m$$

com  $m = -1$  e, como sabemos, pode ser expandida numa série de potências.

Assim:

$$\frac{1}{1 - (\epsilon_0 - \epsilon) I_p(\epsilon_0) / L_p(\epsilon_0)} = \left[ 1 - (\epsilon_0 - \epsilon) I_p(\epsilon_0) / L_p(\epsilon_0) \right]^{-1} =$$

$$= 1 + (\epsilon_0 - \epsilon) I_\rho(\epsilon_0)/L_\rho(\epsilon_0) + (\epsilon_0 - \epsilon)^2 \left[ I_\rho(\epsilon_0)/L_\rho(\epsilon_0) \right]^2 + \dots \quad (B-III)$$

Desse modo, a expressão B-I se transforma em:

$$\frac{L_\rho(\epsilon_0)^2}{L_\rho(\epsilon_0) - (\epsilon_0 - \epsilon) I_\rho(\epsilon_0)} = L_\rho(\epsilon_0) + (\epsilon_0 - \epsilon) I_\rho(\epsilon_0) + O((\epsilon_0 - \epsilon)^2) \quad (B-IV)$$

Pela expansão de Taylor, tem-se:

$$L_\rho(\epsilon) = L_\rho(\epsilon_0) - (\epsilon_0 - \epsilon) \frac{d}{d\epsilon} L_\rho(\epsilon_0) = L_\rho(\epsilon_0) + (\epsilon_0 - \epsilon) I_\rho(\epsilon_0) \quad (B-V)$$

Substituindo B-V em B-IV, vem:

$$\frac{L(\epsilon_0)^2}{L_\rho(\epsilon_0) - (\epsilon_0 - \epsilon) I_\rho(\epsilon)} = L_\rho(\epsilon) + O((\epsilon_0 - \epsilon)^2) \quad (B-VI)$$

2. Dedução da equação (3.5)

Fazendo variações  $\delta \psi_0^*$  e  $\delta \psi_i^*$  arbitrários na expressão variacional da equação (3.4), para  $\nu = \mu = \lambda = 0$ , e impondo que  $\delta \epsilon = 0$ , obtemos:

$$0 = \int_{S_0} (\nabla \delta \psi_0^* \cdot \nabla \psi_0 - \epsilon \delta \psi_0^* \psi_0 + \delta \psi_0^* v \psi_0) dS + \\ + \int_{S_i} (\delta \psi_i^* \nu \psi_i - \epsilon \delta \psi_i^* \psi_i) dS + \\ + \int dS \delta \psi_0^* \partial_n \psi_i + \int dS \partial_n \delta \psi_i^* (\psi_0 - \psi_i)$$

Escolhendo:

$$\delta \psi_0^* = \delta c_{k'}^* e^{-ik' \cdot \vec{r}}$$

$$\delta \psi_i^* = \delta c_{\ell m}^* \gamma_{\ell m}(\vec{r})^* \frac{e^{i k' \cdot \vec{r}}}{\epsilon \epsilon_0(R)}$$

e as formas (3.1) e (3.2) para  $\psi_i$  e  $\psi_0$ , e dada a arbitrariedade de  $\delta c_{k'}^*$  e  $\delta c_{\ell m}^*$ , obtemos as seguintes equações

$$\int_{S_0} \cdot (\nabla (e^{-ik' \cdot \vec{r}}) \cdot \nabla \psi_0 - \epsilon e^{-ik' \cdot \vec{r}} \psi_0 + e^{-ik' \cdot \vec{r}} v \psi_0) dS +$$

$$+ \int dS e^{-ik' \cdot \vec{r}} \partial_n \psi_i = 0$$

$$(\epsilon_0 - \epsilon) \int_{S_i} dS \gamma_{\ell m}(\vec{r})^* \frac{e^{i k' \cdot \vec{r}}}{\epsilon \epsilon_0(R)} \psi_i + \int dS \gamma_{\ell m}(\vec{r})^* \frac{e^{i k' \cdot \vec{r}}}{\epsilon \epsilon_0(R)} (\psi_0 - \psi_i) = 0$$

As duas equações acima são lineares nos coeficientes  $c_k$  e  $c_{\ell m}$  das expansões (3.1) e (3.2) e correspondem a

$$\sum_k H_{k'k} c_k + \sum_{\ell m} H_{k',\ell m} c_{\ell m} = 0$$

$$\sum_k H_{\ell m,k} c_k + H_{\ell m,\ell m} c_{\ell m} = 0$$

onde

$$H_{k'k} = S(\vec{k}' \cdot \vec{k}) \delta_{k-k'} - \epsilon \delta_{k-k'} + v_{k-k'})$$

$$H_{\ell m,k} = H_{k,\ell m}^* = 4\pi e^{i\vec{k} \cdot \vec{r}_0} i^\ell Y_{\ell m}(\vec{k})^* j_\ell(kR) L_\ell(\epsilon_0)$$

$$H_{\ell m,\ell m} = (\epsilon_0 - \epsilon) I_\ell(\epsilon_0) - L_\ell(\epsilon_0)$$

Os diversos símbolos são definidos nas equações (3.6) — (3.9). Para obter estas expressões fizemos uso da expansão para uma onda plana

$$e^{i\vec{k} \cdot \vec{r}} = 4\pi e^{i\vec{k} \cdot \vec{r}_0} \sum_i i^\ell j_\ell(kR) Y_{\ell m}(\vec{k}) Y_{\ell m}(\vec{R})$$

Eliminando os coeficientes  $c_{\ell m}$  das duas equações, obtemos

$$\sum_k D_{k'k} c_{\ell m} = 0$$

$$\text{onde } D_{k'k} = H_{k'k} - \sum_{\ell m} \frac{H_{k',\ell m} H_{\ell m,k}}{H_{\ell m,\ell m}}$$

e usando o fato de que

$$\sum Y_{\ell m}(\vec{k})^* Y_{\ell m}(\vec{k}') = \frac{2\ell+1}{4\pi} P_\ell(\vec{k} \cdot \vec{k}')$$

obtemos a equação (3.5)

## B I B L I O G R A F I A

1. Michael Tinkham - Group Theory and Quantum Mechanics-Mc Graw-Hill  
(1964)
2. L. Jansen and M. Boon - Theory of Finite Groups. Applications in Physics - John Wiley & Sons (1967).
3. J. M. Ziman - Principles of the Theory of Solids-Cambridge University Press (1971).
4. Nilton Penha Silva - Tese - UFMG (1969).
5. J. R. Pereira Neto - Tese - USP (1971).
6. Powell and Crasemann - Quantum Mechanics - Addison - Wesley Publishing Company, Inc. (1965).
7. Antônio Sérgio Teixeira Pires - Tese - UFMG (1972).
8. L. G. Ferreira - Descrição do Método APW em sua forma mais simples - I. F. - USP (1970).
9. J. C. Slater - Quantum Theory of Molecules and Solids - Mc Graw Hill (1965).
10. L. G. Ferreira, José R. Pereira, Dina Lida, A. Agostinho - A Generalization of the Augmented Plane Wave Method - artigo aceito para publicação no Journal of Physics C (London).
11. R. S. Leigh - Proc. Phys. Soc. (London) 69, 388(1956)
12. Schlosser, H. and Marcus, P. M. - Phys. Rev., 131, 2529(1963).
13. J. C. Slater - Quantum Theory of Atomic Structure - Mc Graw-Hill Book Company, Inc. - Vol. II (1960).